基于网络药理学与动物实验探索"消暗瘀方"调控哮喘的作用机制

张宇婧1, 梁磊1, 安兰花1, 韩鹏1, 闫永彬2*

(1. 河南中医药大学儿科医学院,河南 郑州 450000; 2. 河南中医药大学第一附属医院,河南 郑州 450000)

摘要:目的 基于 "伏风暗瘀宿痰" 哮喘病机新说对 "搜风愈喘方" 拆方 "消暗瘀方" 进行网络药理学分析并设计 动物实验对结果进行验证,探讨 "消暗瘀方" 治疗哮喘的潜在靶点及可能作用机制。方法 采用中药系统药理数据 库和分析平台 (TCMSP) 筛选 "消暗瘀方" 的有效成分和靶点,疾病数据库筛选哮喘疾病靶点,两者取交集获得 "有效成分-疾病" 靶点; STRING 数据库分析关键靶点蛋白间的相互作用关系; DAVID 数据库进行 GO 分析、KEGG 富集分析。建立慢性哮喘大鼠模型,对网络药理学得到的哮喘相关通路和靶点进行验证。结果 STRING 数据库得到 目标靶点 120 个,包括 STAT3、VEGF-A、TNF-α、IL-6等; KEGG 富集到与哮喘相关的通路 124 条,包括 PI3K/Akt 通路、Toll 样受体通路等。动物实验表明,"消暗瘀方"可下调大鼠肺组织 p-PI3K、p-Akt 蛋白表达(P<0.05),抑制 PI3K-Akt 通路,下调肺组织 IL-6、TNF-α、VEGF-A mRNA 表达(P<0.05),减轻哮喘大鼠肺组织炎症浸润,抑制气道重塑进程。结论 "搜风愈喘方"拆方 "消暗瘀方"可抑制 PI3K-Akt 通路的激活,降低肺组织 IL-6、TNF-α、VEGF-A mRNA 表达,可能通过抑制机体炎症反应、血管生成等途径减轻哮喘的气道炎症,延缓气道重塑的进程。

关键词: "消暗瘀方"; 哮喘; 网络药理学; 炎症反应; 血管生成; PI3K-Akt 通路

中图分类号: R285.5; R966

文献标志码:B

文章编号: 1001-1528(2023)07-2403-06

doi:10.3969/j.issn.1001-1528.2023.07.052

哮喘是一种常见的慢性呼吸道疾病,也是目前我国面临的一个巨大的公共卫生挑战^[1]。其特征是可变气流受限、黏液高分泌和支气管收缩,是气道对外部刺激的高反应性、气道炎症和气道重塑的结果^[2]。糖皮质激素是治疗哮喘的一线药物^[3],但激素的临床应用受到高剂量或长期使用导致不良副作用的限制,对于严重哮喘的患者疗效欠佳^[4]。因此,亟需开发更好的治疗哮喘的药物。

中医药治疗哮喘疗效确切,课题组前期对哮喘理论进行研究,提出"伏风暗瘀宿痰"的小儿哮喘病机新说^[5],创立祛风、化痰、活血法并施的"搜风愈喘方",临床疗效佳^[6-7]。课题组认为壅塞致疾虽有三因,但以"暗瘀"最为首要,因血瘀为病,证见多端,且易变生它证^[5-6]。研究表明,活血化瘀法可以通过调节血管新生,改善气道重塑,防止哮喘的发生与进展^[8]。前期课题成果初步证实了本方可通过调控 TGF-β1、VEGF 因子抑制哮喘气道重塑^[9]。本研究参照"伏风暗瘀宿痰"之哮喘病机,利用中药功效分组研究法^[10]将"搜风愈喘方"中有化瘀消积功效的药物拆为"消暗瘀方",利用网络药理学技术,探索"消暗瘀方"治疗哮喘的分子机制,并设计动物实验进行验证,为"搜风愈喘方"的新药开发提供理论依据。

1 材料

- 1.1 数据平台 中药系统药理学数据库及分析平台 (TCMSP); Uniprot 数据库 (http://www.uniprot.org/); TTD 数据库; GeneCards 数据库 (http://www.genecards.org/); DrugBank 数据库 (https://go.drugbank.com/drugs); 人类孟德尔遗传网 (OMIM); STRING11.0 数据库 (https://string-db.org/); DAVID 数据库 (https://DAVID.ncifcrf.gov/); Cytoscape 3.7.1 软件。
- 1.2 动物 SPF级SD雄性大鼠48只,购自济南朋悦实验动物繁育有限公司,实验动物生产许可证号SCXK(鲁)2019-0003,在无病原菌条件下按标准饲料喂养,动物实验方案由河南中医药大学第一附属医院伦理委员会批准。
- 1.3 药物 消暗瘀方由党参 10 g、甘草 6 g、山楂 10 g、 莱菔子 10 g、红花 6 g组成,药材均从张仲景大药房购入, 经河南中医药大学陈随清教授鉴定为正品,蒸馏水浸泡、 煎煮、浓缩。醋酸地塞米松片(天津力生制药股份有限公司,批号 1508156)。
- 1.4 试剂 白蛋白 (OVA)(美国 Sigma 公司, 批号 A5503); 氢氧化铝凝胶 (美国 Thermo Fisher Scientific 公司, 批号 77161); 4% 多聚甲醛 (合肥白鲨生物科技有限

收稿日期: 2022-03-16

基金项目: 国家自然科学基金面上项目 (81574020, 81973903); 河南省中医药科学研究专项课题 (20-21ZY1002)

作者简介: 张宇婧 (1997—), 女, 硕士生, 研究方向为中医药治疗小儿感染系统疾病。Tel: 15738887360, E-mail: zyj15738887360@

*通信作者: 闫永彬 (1969—), 男, 博士, 主任医师, 博士生导师, 研究方向为中医药治疗小儿消化、感染系统疾病。Tel: 15515730918, E-mail; yanyongbin827@ sina.com

公司, 批号 BL539A); GAPDH 抗体、RNA 提取液(武汉赛维尔生物科技有限公司, 批号 GB12002、G3013); PI3K p85 alpha (Tyr07) 抗体 (美国 Affinity 公司, 批号 AF3241); Akt (phospho Ser473) 抗体 (美国 GeneTex 公司, 批号 GTX128414)。

2 方法

- 2.1 "消暗瘀方"相关靶点筛选 通过 TCMSP^[11]平台检索"消暗瘀方"中党参、甘草、山楂、莱菔子、红花 5 味中药的化学成分,并根据口服利用度(OB)≥30%、类药性(DL)≥0.18 进行 ADME 筛选,得到主要活性成分所对应的蛋白质靶点,在 Uniprot 蛋白质数据库将蛋白质靶点转化为基因靶点。
- 2.2 疾病靶点筛选 检索 OMIM、TTD、GeneCards、DrugBank^[12]疾病靶点数据库,以"Asthma""Allergic Asthma"为检索词检索哮喘的潜在靶点,合并疾病数据库所得靶点后,删除重复。
- 2.3 蛋白质互作网络及核心靶点筛选 将"消暗瘀方"药物靶点与哮喘潜在靶点取交集,绘制韦恩图。将交集靶点上传至 STRING 11.0 数据库^[13],将生物种类设定为"人类",最小互相作用阈值设定为"highest confidence> 0.9",构建"消暗瘀方"药物靶点与哮喘疾病靶点蛋白互作(PPI) 网络模型,获得"消暗瘀方"与哮喘靶点的 PPI 网络。
- 2.4 GO 功能与 KEGG 通路富集分析 运用 DAVID^[14]平台 对交集靶点进行 KEGG、GO 富集分析, GO 分析包括生物 过程 (biological process, BP)、细胞组分 (cellular component, CC)、分子功能 (molecular function, MF)。筛选相关生物过程与通路,分析与哮喘关系密切的靶点及信号通路。
- 2.5 动物分组 将 48 只 SPF 级大鼠随机分为对照组、哮喘组、地塞米松组、中药组,每组 12 只。
- 2.6 慢性哮喘大鼠模型建立 大鼠适应性喂养 1 周后,依照文献 [9] 报道方法建立慢性哮喘大鼠模型。对照组大鼠注射生理盐水 1 mL,其余各组大鼠五点注射含 1 mg OVA和 100 mg 氢氧化铝凝胶的混合致敏液 1 mL,1 周后重复上述致敏过程。致敏完成后,将大鼠置于自制密闭透明雾化箱中,给予卵蛋白溶液(1% OVA)雾化吸入激发哮喘,每天激发 20 min,共 20 d,每天观察并记录各组大鼠的呼吸情况和行为学变化。末次激发后,各组随机挑选 2 只大鼠进行肺功能检测,以其呼吸情况和行为学异常(呼吸频率加快、点头呼吸、口周发绀、腹肌痉挛、烦躁不安、抓耳挠腮、易激惹好斗等)、肺功能异常及肺组织病理出现炎症浸润、气道壁增厚等改变标志哮喘造模成功。
- 2.7 药物千预 课题组前期药物剂量研究结果表明,搜风愈喘方中剂量组疗效较好^[15-16],故此次拆方选用中剂量换算消暗瘀方剂量为 4.4 g/kg。各组大鼠每天雾化激发前 30 min灌胃给予相应药物,连续 30 d,中药组灌胃给予消暗瘀方煎煮液 4.4 g/kg,地塞米松组灌胃给予地塞米松溶

- 液 0.25 mg/kg,对照组、哮喘组均灌胃给予生理盐水 10 mL/kg。
- 2.8 病理学观察 各组大鼠末次给药后安乐死处理,分离大鼠肺组织,多聚甲醛固定 24 h 后包埋、切片,苏术精-伊红 (HE) 染色,于显微镜下随机选取 3 个完整的细支气管横断面观察肺组织病理变化。运用图像分析软件测量大鼠气道壁面积 (WAt)、大鼠气道基底膜周径 (Pbm)、大鼠气道平滑肌面积 (WAm),计算 WAm/Pbm、WAt/Pbm 值,分别代表大鼠平滑肌、气道壁厚度,评估各组大鼠气道重塑的严重程度。
- 2.9 免疫组化 (IHC) 法检测肺组织 p-PI3K、p-Akt 表达 取肺组织石蜡切片, 脱蜡, 抗原修复, 孵育一抗 (p-PI3K、p-Akt)、二抗, DAB 显色, 复染细胞核, 脱水、封片后于显微镜下观察, 采用图像分析软件测定 p-PI3K、p-Akt 阳性表达平均光密度值。
- 2. 10 RT-qPCR 法检测 肺组织 VEGF-A、 $TNF-\alpha$ 、IL-6 mRNA 表达 提取肺组织总 RNA,根据试剂盒说明操作反转录成 cDNA。采用 PCR 仪进行扩增,反应程序为 95 ℃变性 15 s,60 ℃退火 30 s,共 40 个循环。根据 $2^{-\Delta\Delta CT}$ 法计算 VEGF-A、 $TNF-\alpha$ 、IL-6 mRNA 相对表达,引物序列见表 1。

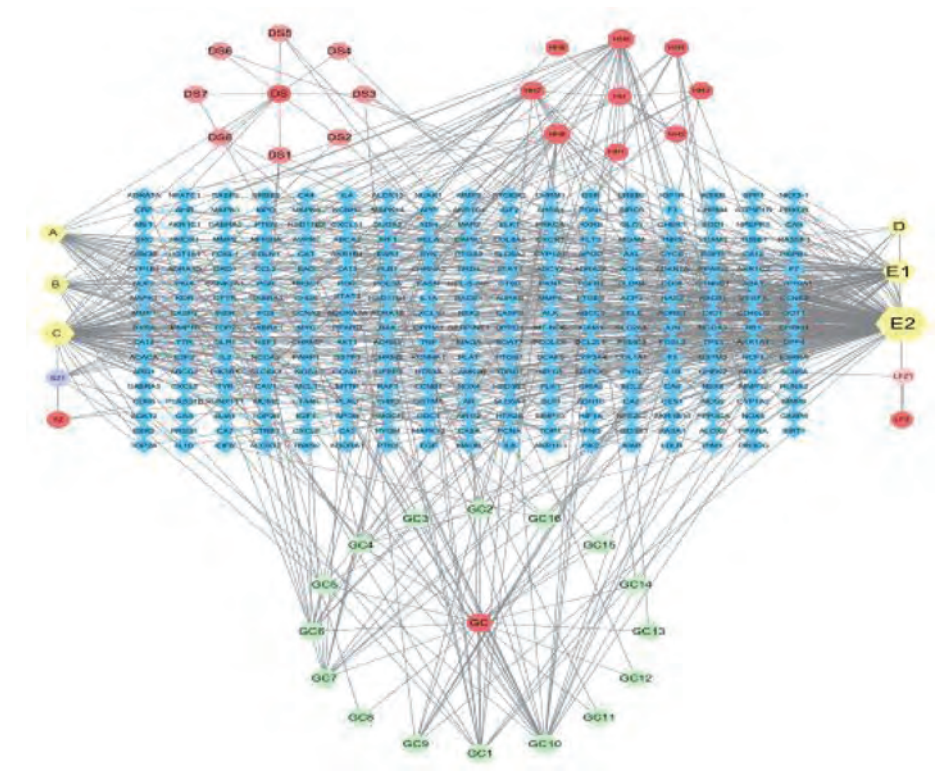
表 1 引物信息

基因	引物序列	长度/bp
TNF-α	正向 5'-GGTCCCAACAAGGAGGAGAAGT-3'	127
	反向 5'-GGTTTGCTACGACGTGGGCTA-3'	
<i>IL</i> -6	正向 5'-AAGAGACTTCCAGCCAGTTGCC-3'	107
	反向 5'-TGTGGGTGGTATCCTCTGTGAAG-3'	
VEGF- A	正向 5'-GCACTGGACCCTGGCTTTACT-3'	102
	反向 5'-AACTTCACCACTTCATGGGCTTT-3'	

2.11 统计学分析 通过 SPSS 22.0 软件进行处理, 计量 资料以 $(\bar{x}\pm s)$ 表示,符合正态分布的数据,组间比较采用 单因素方差分析;不符合正态分布的数据,组间比较采用 非参数检验。P<0.05 表示差异具有统计学意义。

3 结果

- 3.1 中药靶点分析 TCMSP 数据库检索到 229 种 "消暗 瘀方"活性成分,经参数筛选及文献报道补充后[17-19],获 得党参 11 种、红花 12 种、莱菔子 2 种、甘草 20 种、山楂 4 种。在 Uniprot 数据库中得到党参基因靶点 99 个、红花 200 个、山楂 91 个、莱菔子 4 个、甘草 215 个,删除重复值后,得到"消暗瘀方"基因靶点 307 个。"消暗瘀方"-活性成分-靶点图见图 1。
- 3.2 哮喘相关靶点筛选 检索 OMIM、TTD、Drugbank、Genecards 疾病数据库,分别得到哮喘靶点数 43、137、103、1 053 个,合并数据并去除重复值后得到 1 220 个靶点。"消暗瘀方"药物与哮喘疾病两者交集靶点共 120 个,见图 2。
- 3.3 "消暗瘀方"成分-哮喘靶点 PPI 网络构建 将 120 个交集靶点提交至 STRING 11.0 平台,得到"消暗瘀方-哮喘"的 PPI 网络,将相关数据导入 Cytoscape 3.7.1 软件,计算 Degree 值。结果,与哮喘作用密切的核心靶点有



注:蓝色表示靶点,DH代表党参,HH代表红花,SZ代表山楂,LFZ代表莱菔子,GC代表甘草,正八形为药物活性成分。A 为党参、红花共有成分,B 为党参、甘草共有成分,C 为党参、红花、山楂共有成分,D 为莱菔子、甘草共有成分,E1、E2 为红花、甘草、山楂共有成分。

图 1 "消暗瘀方"-活性成分-靶点图

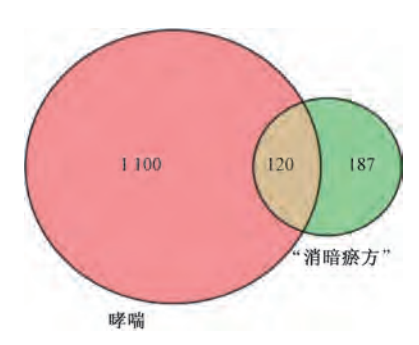


图 2 药物-疾病靶点交集 Venn 图

STAT3 (Degree 值为 36)、TNF-α (Degree 值为 30)、IL-6 (Degree 值为 24)、VEGF-A (Degree 值为 17) 等,通过Cytoscape 3.7.1 软件将核心靶点网络可视化,见图 3。

3.4 GO 功能与 KEGG 通路富集分析 运用 DAVID 平台对上述 120 个关键靶点进行富集分析。KEGG 结果显示"消暗瘀方"作用于哮喘的通路共涉及 124 条,与哮喘关系密切的主要通路有 PI3K-Akt 通路 (富集基因数 21 个)、Toll样受体通路 (富集基因数 15 个)、HIF-1α 通路 (富集基因数 15 个)等,绘制 KEGG 通路气泡图,见图 4A。GO 分析得到"消暗瘀方"作用于哮喘的分子功能(MF)87 个,



注:节点颜色由深变浅代表 Degee 值由大变小,黄色倒三角形为目标节点,圆形为目标节点相关的节点。

图 3 核心靶点网络图

生物学过程 (BP) 395 个,细胞组分 (CC) 46 个。分子功能主要有细胞基质改变、蛋白磷酸酶结合等,生物学进程主要有缺氧、细胞增殖、凋亡、血管生成等,细胞组分主要有细胞外区域、质膜、细胞表面等,绘制 GO 富集分析条形图 (图 4B~4D)、成分-靶点-通路网络图 (图 5)。

3.5 "消暗瘀方"对哮喘大鼠肺组织病理的影响 如图 6 所示,与对照组比较,哮喘组大鼠肺组织气道结构严重破坏,气道平滑肌肥厚,肺泡壁严重增厚,部分肺泡融合、破裂、扩张成为肺大疱,支气管、血管周围大量炎症细胞浸润;与哮喘组比较,地塞米松组和中药组大鼠肺组织肺

July 2023

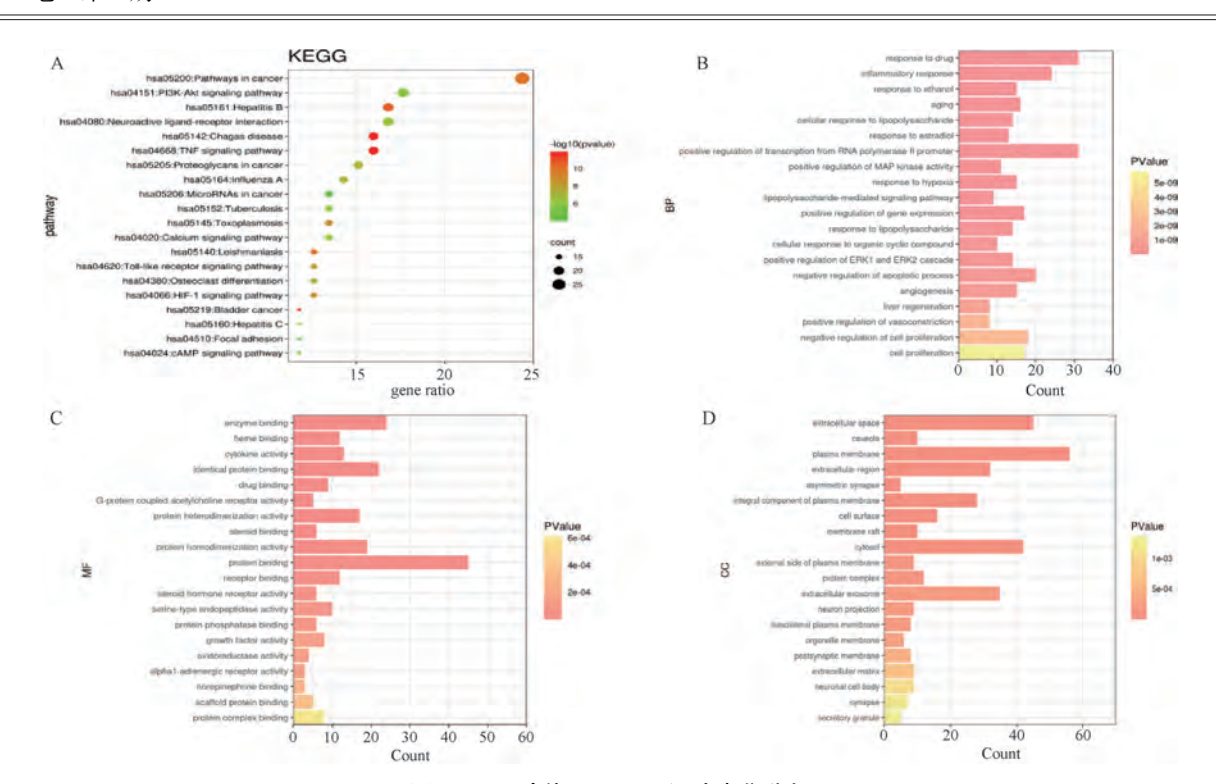


图 4 GO 功能、KEGG 通路富集分析

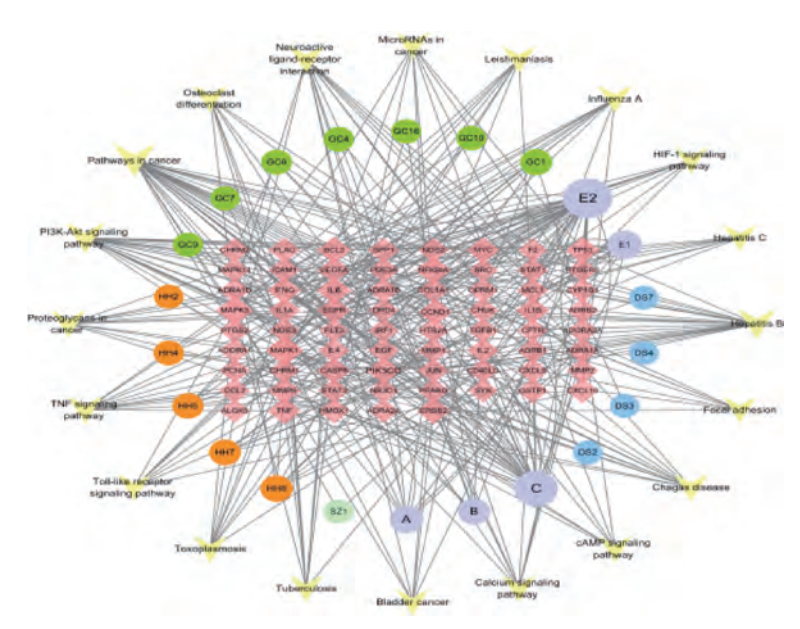


图 5 成分-哮喘靶点-通路网络图

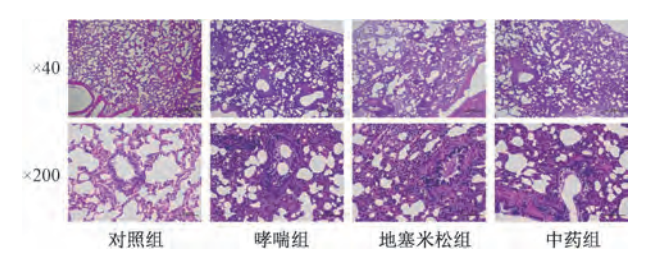


图 6 各组大鼠肺组织 HE 染色

泡腔轻度增大, 肺泡壁增厚不明显, 血管与支气管周围可 见炎症细胞浸润分布,气道结构基本完整。

"消暗瘀方"对哮喘大鼠气道重塑的影响 如表 2 所 示,与对照组比较,哮喘组大鼠肺组织 WAt/Pbm、WAm/ Pbm 值升高 (P<0.05), 表明哮喘组大鼠出现气道重塑的 病理改变; 与哮喘组比较, 地塞米松组及中药组大鼠肺组 织 WAt/Pbm、WAm/Pbm 值降低 (P<0.05), 表明经"消 暗瘀方"干预后哮喘大鼠的气道重塑程度明显减轻。

3.7 "消暗瘀方"对哮喘大鼠肺组织 p-PI3K、p-Akt 表达 的影响 如图 7、表 3 所示,与对照组比较,哮喘组大鼠肺 组织 p-PI3K、p-Akt 表达增加 (P<0.05); 与哮喘组比较, 地塞米松组、中药组大鼠肺组织 p-PI3K、p-Akt 表达减少

表 2 各组大鼠 WAt/Pbm、WAm/Pbm 值比较 ($\bar{x}\pm s$, n=10)

组别	WAt/Pbm	WAm/Pbm
对照组	29. 40±1. 05	6. 47±0. 67
哮喘组	38. 50±1. 62#	12. 09±1. 59#
地塞米松组	32. 00±1. 07 *	8. 64±0. 60 *
中药组	33. 21±1. 11 *	9. 73±0. 73 *

注:与对照组比较,*P<0.05;与哮喘组比较,*P<0.05。(P<0.05),表明经"消暗瘀方"干预后哮喘大鼠肺组织PI3K-Akt 通路受到抑制。

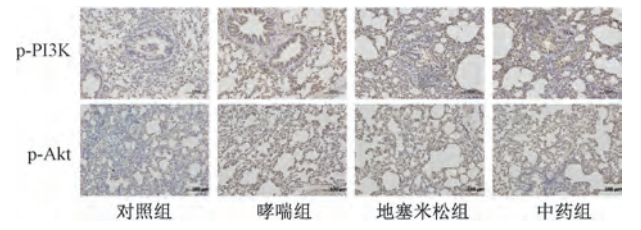


图 7 各组大鼠肺组织 p-PI3K、p-Akt 免疫组化图 (×200)

表 3 各组大鼠肺组织 p-PI3K、p-Akt 平均光密度值比较 $(\bar{x}\pm s, n=10)$

组别	p-PI3K	p-Akt
对照组	0. 21±0. 03	0. 12±0. 05
哮喘组	0.38±0.04#	$0.33\pm0.04^{\#}$
地塞米松组	0. 31±0. 03 *	0. 21±0. 03 *
中药组	0. 32±0. 04 *	0. 22±0. 10 *

注:与对照组比较, *P<0.05;与哮喘组比较, *P<0.05。

3.8 "消暗療方"对哮喘大鼠肺组织 VEGF-A、 $TNF-\alpha$ 、IL-6 mRNA 表达的影响 如表 4 所示,与对照组比较,哮喘组大鼠肺组织 VEGF-A、IL-6、 $TNF-\alpha$ mRNA 表达升高 (P<0.05);与哮喘组比较,地塞米松组、中药组大鼠肺组织 VEGF-A、IL-6、 $TNF-\alpha$ mRNA 表达均降低 (P<0.05)。

表 4 各组大鼠肺组织 *IL*-6、TNF- α 、VEGF-A mRNA 表达比较 $(\bar{x}\pm s, n=10)$

组别	IL-6	TNF-α	VEGF-A
对照组	1.00±0.18	1.00±0.12	1.00±0.08
哮喘组	4. 10±0. 77#	5. 60±0. 86#	3.96±0.56#
地塞米松组	1.41±0.55*	2. 53±0. 33 *	2. 02±0. 40 *
中药组	2. 01±0. 50 *	3. 07±0. 45 *	2. 27±0. 30 *

注:与对照组比较,*P<0.05;与哮喘组比较,*P<0.05。

4 讨论

本研究基于网络药理学方法,构建了"搜风愈喘方"拆方"消暗瘀方"的"活性成分-靶点-疾病"网络,挖掘了"消暗瘀方"的关键靶点及其治疗哮喘的潜在分子机制。本研究发现"消暗瘀方"治疗哮喘的关键成分为槲皮素、山柰酚、木犀草素、柚皮素等。诸多药理学研究发现,槲皮素可以促进 Th1 型细胞因子的产生,并下调 Th2 型细胞因子^[20],通过抑制肥大细胞和释放过敏性(IgE 介导)介质的抑制剂来控制哮喘^[21]。研究表明,山柰酚的抗炎活性可降低炎性细胞因子(IL-5、IL-13、GM-CSF)和嗜酸性粒

细胞水平,缓解哮喘气道狭窄,对哮喘气道高反应性的病理特征有保护作用 $^{[22]}$ 。临床研究表明,木犀草素可抑制哮喘患儿外周血中单核细胞促炎性因子 IL-6、TNF- α 的分泌,可能通过调控 TLR4/NF- κ B 信号通路,发挥抗炎效应从而延缓哮喘的病程 $^{[23]}$ 。柚皮素可以通过抑制肥大细胞释放组胺,抑制 CD4T 细胞 Th2 细胞因子来抑制 I 型变态反应,其机制尚不清楚 $^{[24]}$ 。由此推测,拆方"消暗瘀方"可能通过以上有效成分发挥抗炎、调节 Th1/Th2 免疫平衡等作用,进而对哮喘的炎症浸润和气道重塑有良好的疗效。

网络药理学结果显示,"消暗瘀方"干预哮喘涉及 PI3K-Akt 通路、Toll 样受体通路、HIF-1α 通路等,其中富集关系最密切的是 PI3K-Akt 通路。PI3K-Akt 信号通路有调节细胞生长、迁移、增殖和代谢,参与蛋白合成、逆转录和自噬的作用^[25]。其可通过激活氧化应激和炎症反应,造成哮喘炎症因子风暴和气道黏液高分泌状态,在哮喘的发展中起着主要推动作用^[26],是当前哮喘研究的热点通路。另外,PI3K/Akt 通路还是 NF-κB 级联反应的上游激活剂^[27],抑制通路活化可能会下调 NF-κB 的磷酸化水平,减少 Th2 型细胞分化,控制免疫失衡。课题组前期研究表明,"搜风愈喘方"可以抑制 Th1 型细胞因子向 Th2 型细胞因子发生漂移^[28],与报道相一致。

PPI 分析得出 VEGF-A、TNF-α、IL-6 为 "消暗瘀方" 治疗哮喘的关键靶点。VEGF 是血管内皮生长因子, 在哮喘 患者气道中表达增高,可增强微血管通透性,促进血管再 生。PI3K/Akt 通路活化后可激活 VEGF 因子,促进支气管 平滑肌增殖,增加内皮和血管平滑肌细胞的迁移,与哮喘 气道重塑关系密切^[29]。TNF-α 可以激活巨噬细胞、间质细 胞等,导致组织出现持续的炎症反应及免疫病理损伤,增 加气道的高反应性,最终导致哮喘的发生^[30]。TNF-α 还是 介导炎症因子表达的重要介质, 能诱导 IL-6 等炎症因子的 产生。而 IL-6 为多活性的细胞因子, 对巨噬细胞的产生有 抑制作用,可抑制 Th1、Treg 细胞的分化,促进 Th2、Th17 细胞的分化。研究表明, IL-6 可能为 Th17 介导的中性粒细 胞性哮喘的启动因子,诱导 IL-17 产生,从而募集大量的中 性粒细胞,引发急性哮喘的发作[31]。气道炎症、气道高反 应性、气道重塑被认为是支气管哮喘本质的病理机制, PI3K/Akt 通路的激活可促进 Th2 型细胞分化及 IL-6、TNFα等大量炎症因子的分泌,从而导致炎症浸润及免疫失衡, 还可激活下游 VEGF 因子, 致使气道重塑的发生。

通过动物实验对网络药理学结果进行验证,中药组大鼠肺组织气道结构完整度高,可见少量脱落,少数肺泡腔增大、融合,伴有少量炎症细胞浸润,与哮喘组比较有明显好转趋势;气道壁及气道平滑肌厚度较哮喘组减少;肺组织 VEGF-A、IL-6、TNF-α mRNA 表达和 p-PI3K 和 p-Akt平均光密度值均降低,PI3K/Akt 通路受到抑制,与网络药理学结果相符合。

本研究利用网络药理学方法初步预测了"消暗瘀方" 治疗哮喘的有效药物成分、核心靶点及可能的分子机制, 为进一步研究"搜风愈喘方"治疗儿童哮喘的作用机制奠定了基础。但是由于拆方理论和网络药理学自身的局限性和不足,仍需要进一步的药理实验佐证上述结论。

参考文献.

- [1] Huang K, Yang T, Xu J, et al. Prevalence, risk factors, and management of asthma in China: a national cross-sectional study [J]. Lancet, 2019, 394(10196): 407-418.
- [2] Papi A, Brightling C, Pedersen S E, et al. Asthma [J].Lancet, 2018, 391(10122): 783-800.
- [3] Bateman E D, Hurd S S, Barnes P J, et al. Global strategy for asthma management and prevention: GINA executive summary [J]. Eur Respir, 2008, 31(1): 143-178.
- [4] Ebmeier S, Thayabaran D, Braithwaite I, et al. Trends in international asthma mortality: analysis of data from the WHO Mortality Database from 46 countries (1993-2012) [J]. Lancet, 2017, 390(10098): 935-945.
- [5] 闫永彬, 贾长虹, 杨明江, 等. 从伏风暗瘀宿痰辨治小儿 哮喘[J]. 中医杂志, 2016, 57(21): 1877-1878; 1881.
- [6] 闫永彬,丁 樱.从"伏风暗瘀"论治小儿咳嗽变异型哮喘探析[J].中华中医药杂志,2009,24(5):606-608.
- [7] 周宏鹤. 搜风愈喘方治疗儿童哮喘发作期的临床与实验研究[D]. 郑州: 河南中医药大学, 2016.
- [8] 黄丽娜, 张 伟. 从"肺为血脏"论瘀在支气管哮喘中的 意义[J]. 辽宁中医杂志, 2020, 47(2): 74-75.
- [9] Yan Y, Liu L, Dou Z, et. al. Soufeng Yuchuan decoction mitigates the ovalbumin-induced lung damage in a rat model of asthma[J]. Biomed Pharmacother, 2020, 125: 109933.
- [10] 王丽静, 贾晓斌, 陈 彦, 等. 中药复方拆方研究的思路与方法[J]. 中成药, 2008, 30(9): 1343-1346.
- [11] Ru J, Li P, Wang J, et al. TCMSP: a database of systems pharmacology for drug discovery from herbal medicines [J]. J Cheminform, 2014, 6: 13.
- [12] Wishart D.S., Feunang Y.D., Guo A.C., et al. DrugBank 5.0; a major update to the DrugBank database for 2018 [J]. Nucleic Acids Res., 2018, 46(D1); D1074-D1082.
- [13] Szklarczyk D, Gable A L, Lyon D, et al. STRING v11: protein-protein association networks with increased coverage, supporting functional discovery in genome-wide experimental datasets[J]. Nucleic Acids Res., 2019, 47: D607-D613.
- [14] Huang D W, Sherman B T, Lempicki R A. Systematic and integrative analysis of large gene lists using DAVID bioinformatics resources [J]. Nature Protoc, 2009, 4(1): 44-57.
- [15] 张 勇, 闫永彬. 搜风愈喘方对哮喘大鼠血清和肺泡灌洗液中 VEGF 表达的影响 [J]. 临床医药文献电子杂志, 2018, 5(84): 160; 162.
- [16] 张 勇. 儿童哮喘伏风暗瘀宿痰证候学研究及搜风愈喘方 调控哮喘大鼠气道重塑 VEGF 的实验研究 [D]. 郑州;

- 河南中医药大学, 2017.
- [17] 张祺嘉钰,赵佩媛,孙 静,等.山楂的化学成分及药理作用研究进展[J].西北药学杂志,2021,36(3):521-523.
- [18] 王超群,郭 敏,易敏之,等.山楂化学成分及高效液相 色谱分析方法研究进展[J].中国中医药信息杂志,2006, 13(11):93-95.
- [19] 孙 波. 山楂的现代药理与临床应用分析[J]. 中国医药指南, 2009, 7(12): 122-123.
- [20] Jafarinia M, Sadat Hosseini M, Kasiri N, et al. Quercetin with the potential effect on allergic diseases [J]. Allergy Asthma Clin Immunol, 2020, 16: 36.
- [21] Mlcek J, Jurikova T, Skrovankova S, et al. Quercetin and its anti-allergic immune response [J]. Molecules, 2016, 21 (5): 623.
- [22] Shin D, Park S H, Choi Y J, et al. Dietary compound kaempferol inhibits airway thickening induced by allergic reaction in a bovine serum albumin-induced model of asthma [J]. Int J Mol Sci, 2015, 16(12): 29980-29995.
- [23] 余 洁,彭 哲,谢 婷,等. 木犀草素对哮喘患儿外周 血单核细胞 TNF-α 和 IL-6 分泌的影响及机制研究[J]. 中国免疫学杂志, 2019, 35(13): 1580-1583; 1589.
- [24] Wagh A D, Sharma M, Mahapatra J, et al. Investigation into the role of PI3K and JAK3 kinase inhibitors in murine models of asthma[J]. Front Pharmacol, 2017, 8: 82.
- [25] Yang N, Zhang H, Cai X, et al. Epigallocatechin-3-gallate inhibits inflammation and epithelial-mesenchymal transition through the PI3K/Akt pathway via upregulation of PTEN in asthma[J]. Int J Mol Med, 2018, 41(2): 818-828.
- [26] Cheng C, Ho W E, Goh F Y, et al. Anti-malarial drug artesunate attenuates experimental allergic asthma via inhibition of the phosphoinositide 3-kinase/Akt pathway [J]. PLoS One, 2011, 6(6): e20932.
- [27] Wu D, Li S, Liu X, et al. Alpinetin prevents inflammatory responses in OVA-induced allergic asthma through modulating PI3K/Akt/NF-κB and HO-1 signaling pathways in mice[J]. Int Immunopharmacol, 2020, 89(Pt A): 107073.
- [28] 闫永彬, 丁 樱, 刘 洁, 等. 搜风消暗瘀方治疗小儿咳嗽变异性哮喘临床研究[J]. 中医学报, 2017, 32(4): 525-527.
- [29] 牛晓婷. HIF-1α 与 VEGF 对烟雾暴露哮喘大鼠气道重塑的 影响及西罗莫司治疗作用的研究[D]. 北京:中国人民解 放军医学院, 2014.
- [30] 姚 俊,赵 霞. 中医药治疗哮喘对 $TNF-\alpha$ 影响的研究进展[J]. 辽宁中医杂志, 2014, 41(9): 2010-2012.
- [31] Nasser M Z, Ezzat D A. Association of -308G/A polymorphism and serum level of TNF-α with bronchial asthma in children [J]. Egypt J Immunol, 2018, 25(2); 117-124.